

## Elektrische Eigenschaften

## Electrical properties

## Höchstzulässige Werte

## Maximum rated values

Periodische Vorwärts- und Rückwärts-Spitzenperrspannung	repetitive peak forward off-state and reverse voltages	$t_{vj} = -40^\circ\text{C} \dots t_{vj \max}$	$V_{DRM}, V_{RRM}$	1600	1800	V
Vorwärts-Stoßspitzen-sperrspannung	non repetitive peak forward off-state voltage	$t_{vj} = -40^\circ\text{C} \dots t_{vj \max}$	$V_{DSM} = V_{DRM}$	2000*	v	
Rückwärts-Stoßspitzen-sperrspannung	non repetitive peak reverse voltage	$t_{vj} = + 25^\circ\text{C} \dots t_{vj \max}$	$V_{RSM} = V_{RRM}$	+ 100	v	
Durchlaßstrom-Grenzeffektivwert	RMS on-state current	$t_C = 85^\circ\text{C}$	$I_{TRMSM}$	1300	A	
Dauergrenzstrom	average on-state current	$t_C = 33^\circ\text{C}$	$I_{TAVM}$	470	A	
Stoßstrom-Grenzwert	surge current	$t_{vj} = 25^\circ\text{C}, t_p = 10 \text{ ms}$	$I_{TSM}$	830	A	
Grenzlastintegral	Pt-value	$t_{vj} = t_{vj \max}, t_p = 10 \text{ ms}$	$I^{2t}$	9,3	kA	
Kritische Stromsteilheit	critical rate of rise of on-state current	$t_{vj} = 25^\circ\text{C}, t_p = 10 \text{ ms}$	$(di/dt)_{cr}$	8,3	kA	
Kritische Spannungssteilheit	critical rate of rise of Off-state voltage	$t_{vj} = t_{vj \max}, t_p = 10 \text{ ms}$	$(dv/dt)_{cr}$	343	$\text{kA}^2\text{s}$	
		$V_D \leq 67\% V_{DRM}, f = 50 \text{ Hz}$		345	$\text{kA}^2\text{s}$	
		$i_{GM} = 1 \text{ A}, di_G/dt = 1 \text{ A}/\mu\text{s}$		300	Alus	
		$t_{vj} = t_{vj \max}, V_D = 67\% V_{DRM}$		<sup>1)</sup>	<sup>2)</sup>	
				B:	50	$\text{V}/\mu\text{s}$
				C*:	500	$\text{V}/\mu\text{s}$
				L:	500	$\text{V}/\mu\text{s}$
				M*:	1000	$\text{V}/\mu\text{s}$

## Charakteristische Werte

## characteristic values

Durchlaßspannung	on-state voltage	$t_{vj} = t_{vj \max}, i_T = 2500 \text{ A}$	$V_T$	max.	3,35	v
Schleusenspannung	threshold voltage	$t_{vj} = t_{vj \max}$	$V_{T(TO)}$		1,3	v
Ersatzwiderstand	slope resistance	$t_{vj} = t_{vj \max}$	$r_T$		0,72	$\text{m}\Omega$
Zündstrom	gate trigger current	$t_{vj} = 25^\circ\text{C}, V_D = 12 \text{ V}$	$I_{GT}$	max.	250	mA
Zündspannung	gate trigger voltage	$t_{vj} = 25^\circ\text{C}, V_D = 12 \text{ V}$	$V_{GT}$	max.	2,2	v
Nicht zündender Steuerstrom	gate non-trigger current	$t_{vj} = t_{vj \max}, V_D = 12 \text{ V}$	$I_{GD}$	max.	10	mA
Nicht zündende Steuerspannung	gate non-trigger voltage	$t_{vj} = t_{vj \max}, V_D = 0,5 V_{DRM}$	$V_{GD}$	max.	0,25	v
Einraststrom	holding current	$t_{vj} = 25^\circ\text{C}, V_D = 12 \text{ V}, R_A = 10 \Omega$	$I_H$	max.	300	mA
	current	$t_{vj} = 25^\circ\text{C}, V_D = 12 \text{ V}, R_{GK} \geq 10 \Omega$	$I_L$	max.	1,5	A
Vorwärts- u. Rückwärts-Sperrstrom	forward off-state and reverse currents	$i_{GM} = 1 \text{ A}, di_G/dt = 1 \text{ A}/\mu\text{s}, t_g = 20 \mu\text{s}$	$i_D, i_R$	max.	100	mA
Zündverzug	gate controlled delay time	$t_{vj} = t_{vj \max}, V_D = V_{DRM}, V_R = V_{RRM}$	$t_{gd}$	max.	1,5	$\mu\text{s}$
Freiwerdezeit	circuit commutated turn-off time	$t_{vj} = 25^\circ\text{C}, i_{GM} = 1 \text{ A}, di_G/dt = 1 \text{ A}/\mu\text{s}$ siehe Techn. Erl./see Techn. Inf.	$t_c$	N:	60	$\mu\text{s}$
			$T$	max.	80	$\mu\text{s}$
			$u$	max.	120	$\mu\text{s}$

## Thermische Eigenschaften

## Thermal properties

Innerer Wärmewiderstand für beidseitige Kühlung	thermal resistance, junction to case for two-sided cooling	$\Theta = 180^\circ \text{ el, sin DC}$	$R_{thJC}$	max.	0,04	$^\circ\text{C/W}$
für anodenseitige Kühlung	for anode-sided cooling	$\Theta = 180^\circ \text{ el, sin DC}$	$R_{thJC(A)}$	max.	0,038	$^\circ\text{C/W}$
für kathodenseitige Kühlung	for cathode-sided cooling	$\Theta = 180^\circ \text{ el, sin DC}$	$R_{thJC(K)}$	max.	0,078	$^\circ\text{C/W}$
Übergangswärmewiderstand	thermal resistance, case to heatsink	beidseitig/two-sided einseitig/one-sided	$R_{thCK}$	max.	0,069	$^\circ\text{C/W}$
Höchstzul. Sperrsichttemperatur	max. junction temperature			max.	0,088	$^\circ\text{C/W}$
Betriebstemperatur	Operating temperature			max.	0,086	$^\circ\text{C/W}$
Lagertemperatur	Storage temperature			max.	0,005	$^\circ\text{C/W}$
				max.	0,01	$^\circ\text{C/W}$
			$t_{vj \max}$			125°C
			$t_{c \text{ op}}$			-40 ... + 125°C
			$t_{sig}$			-40 ... + 150°C

## Mechanische Eigenschaften

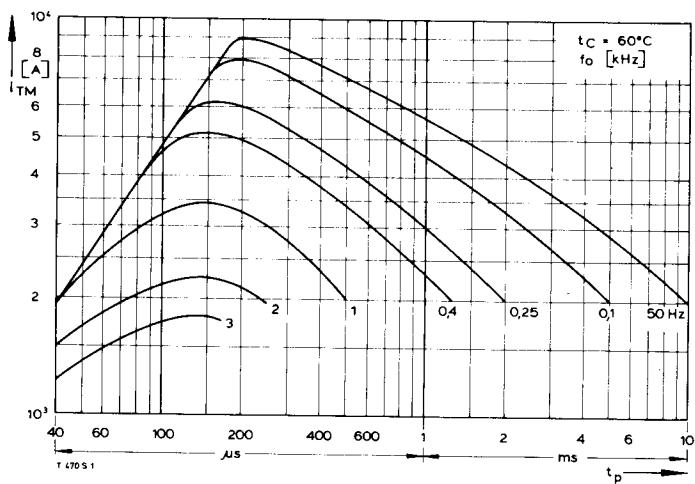
## Mechanical properties

Si-Element mit Druckkontakt	Si-pellet with pressure contact		$F$	7 ... 15	15 kN	
Anpreßkraft	Clamping force		$G$	typ.	160g	
Gewicht	weight				17 mm	
Kriechstrecke	Creepage distance				C	
Feuchtekategorie	humidity classification	DIN 40040			50 m/s <sup>2</sup>	
Schwingfestigkeit	Vibration resistance	f = 50 Hz				
Maßbild	outline	DIN 41814-153D4				
						Seite/page 154

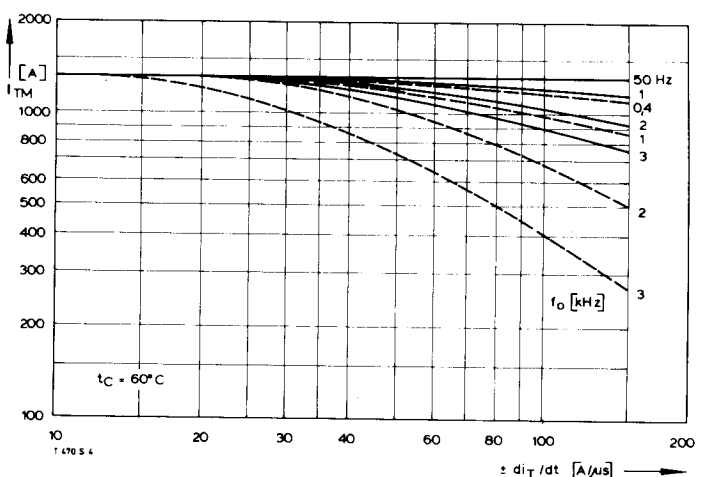
Für größere Stückzahlen bitte Liefertermin erfragen/Delivery for larger quantities on request

1) Werte nach DIN IEC 747-6 (ohne vorausgehende Kommutierung)/Values to DIN IEC 747-6 (without Prior commutation)

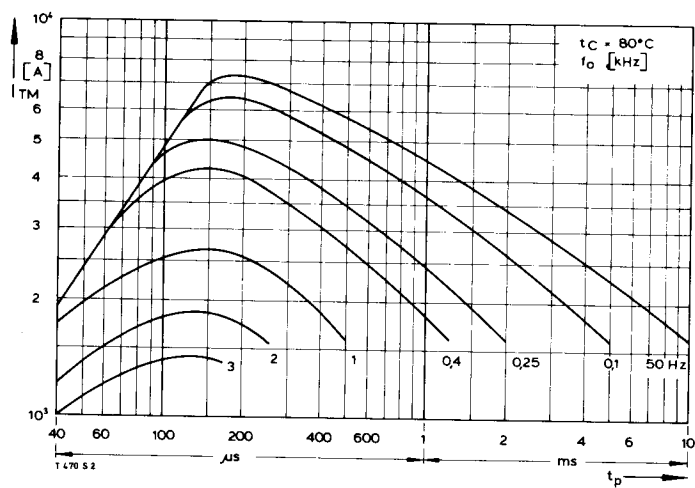
2) Unmittelbar nach der Freiwerdezeit, vgl. Meßbedingungen für  $t_q$ /Immediately after circuit commutated turn-off time, see Parameters  $t_q$



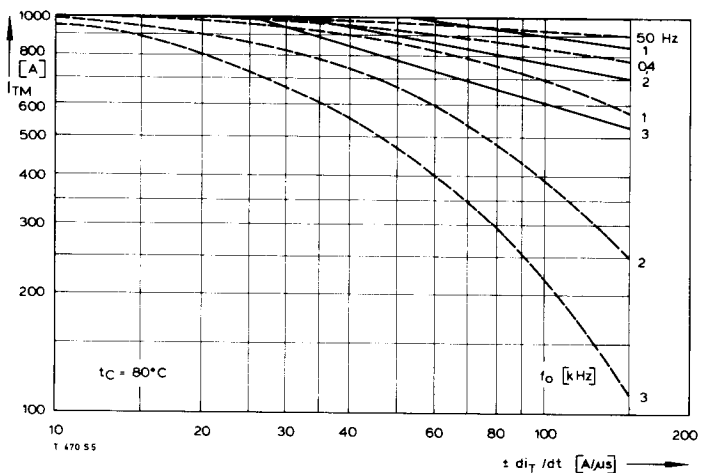
Bild/Fig. 1



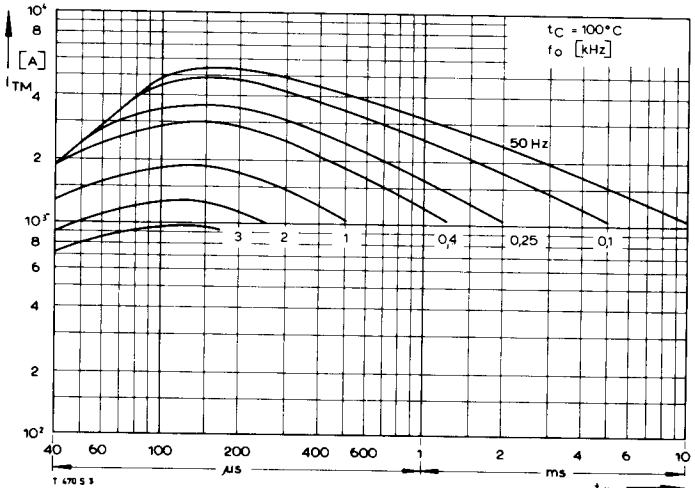
Bild/Fig. 4



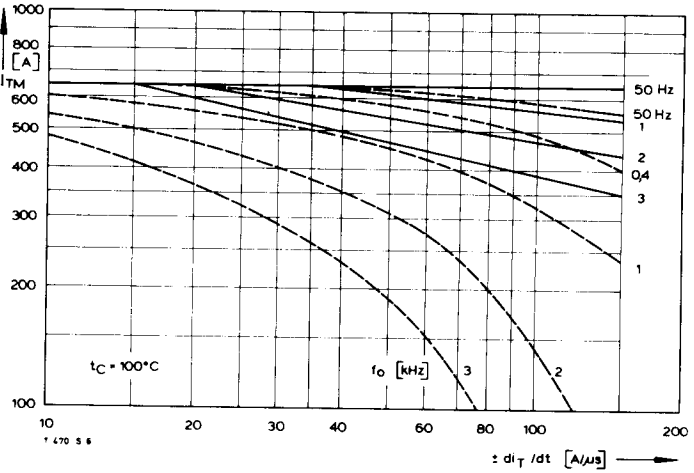
Bild/Fig. 2



Bild/Fig. 5



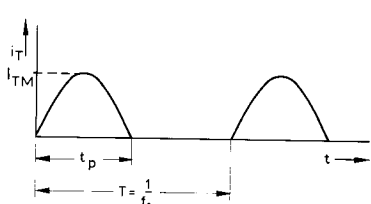
Bild/Fig. 3



Bild/Fig. 6

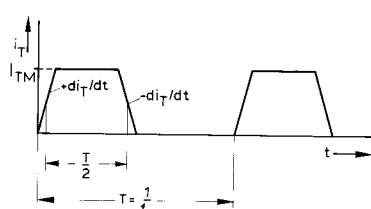
Bild/Fig. 1, 2, 3  
Steuergenerator/pulse generator:  
 $i_G = 1 \text{ A}$ ,  $\frac{di_G}{dt} = 1 \text{ A/μs}$

RC-Glied/RC-network:  
 $R [\Omega] \geq 0,02 V_{DM} |V|$   
 $C \leq 0,22 \mu\text{F}$   
 $V_{DM} \leq 0,67 V_{DRM}$

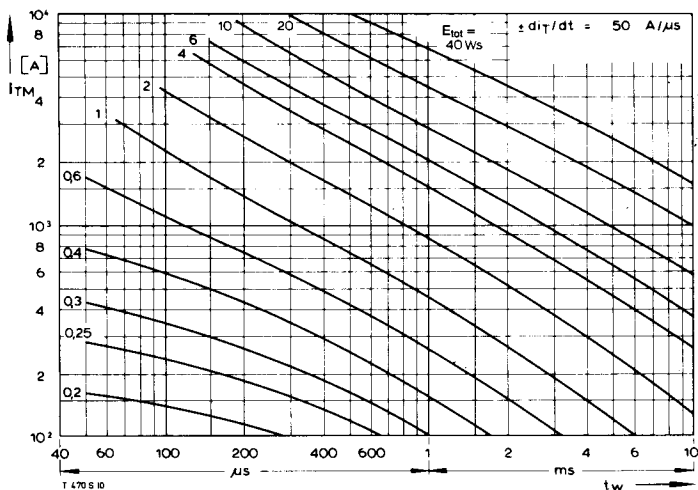


Bild/Fig. 4, 5, 6  
Steuergenerator/pulse generator:  
 $i_G = 1 \text{ A}$ ,  $\frac{di_G}{dt} = 1 \text{ A/μs}$

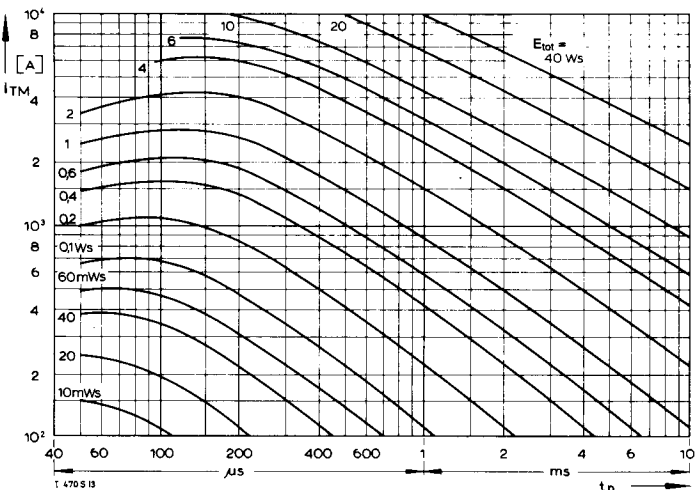
RC-Glied/RC-network:  
 $R [\Omega] \geq 0,02 V_{DM} |V|$   
 $C \leq 0,33 \mu\text{F}$   
 $V_{DM} \leq 0,67 V_{DRM}$   
 $\frac{dv_R}{dt} \leq 700 \text{ V/μs}$   
 $V_{RM} \leq 0,67 V_{RRM}$



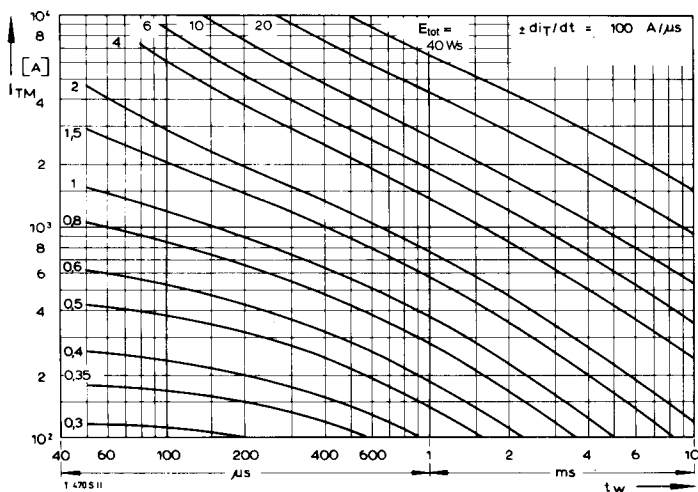
# T 468 S



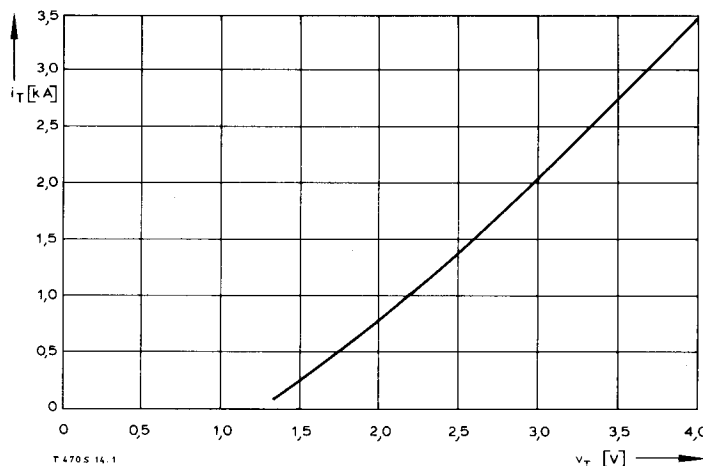
Bild/Fig. 10



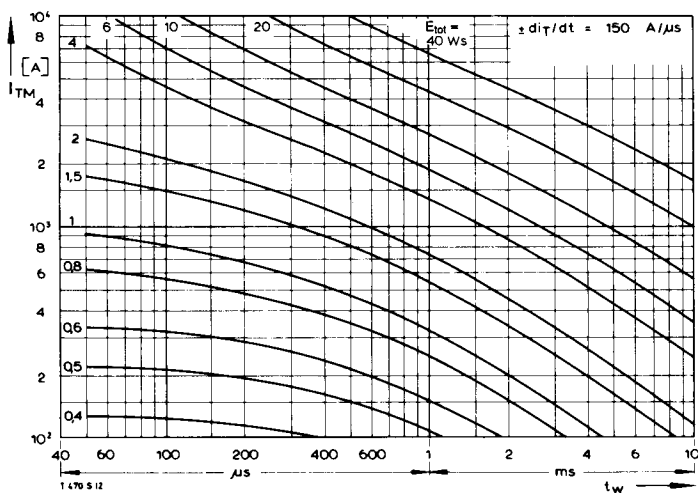
Bild/Fig. 13



Bild/Fig. 11



Bild/Fig. 14



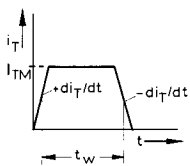
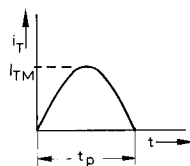
Bild/Fig. 12

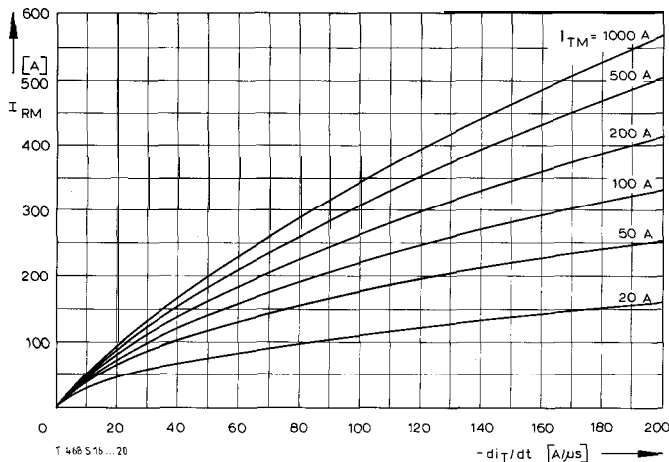
Bild/Fig. 10, 11, 12  
Steuergenerator/pulse generator:  
 $i_G = 1 \text{ A}$ ,  $di_G/dt = 1 \text{ A}/\mu\text{s}$

RC-Glied/RC-network:  
 $R [\Omega] \geq 0,02 V_{DM} [\text{V}]$   
 $C \leq 0,33 \mu\text{F}$   
 $V_{DM} \leq 0,67 V_{DRM}$   
 $dv_R/dt \leq 700 \text{ V}/\mu\text{s}$   
 $V_{RM} \leq 0,67 V_{RRM}$

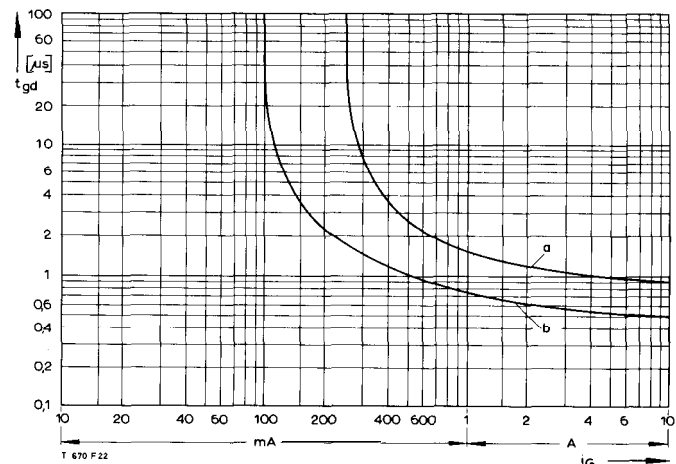
(zu Bild/to Fig. 13)  
Steuergenerator/pulse generator:  
 $i_G = 1 \text{ A}$ ,  $di_G/dt = 1 \text{ A}/\mu\text{s}$

RC-Glied/RC-network:  
 $R [\Omega] \geq 0,02 V_{DM} [\text{V}]$   
 $C \leq 0,22 \mu\text{F}$

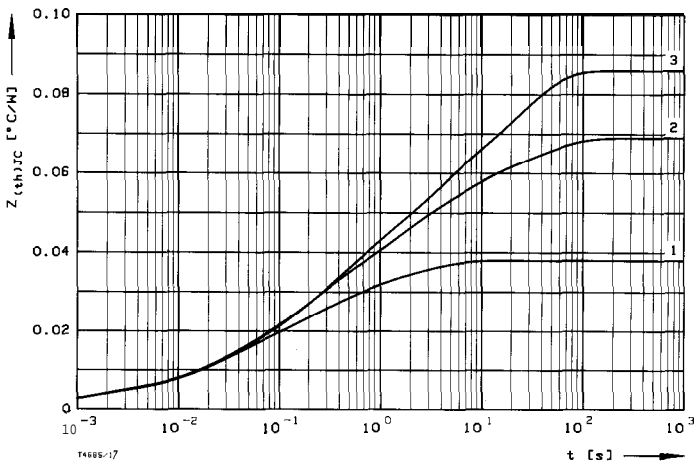




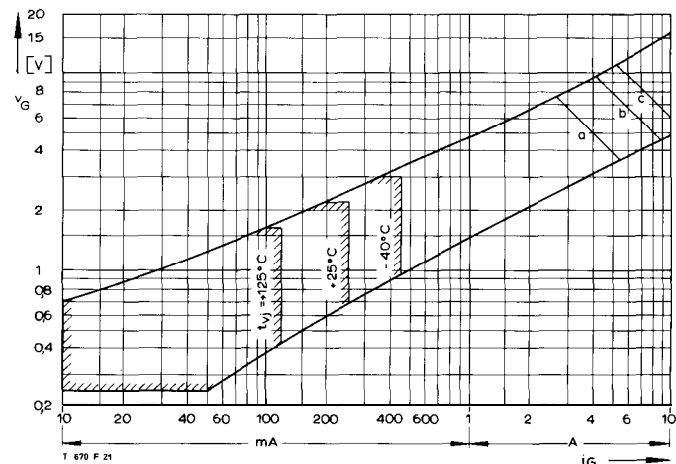
BildFig. 16  
Rückstromspitze  $I_{RM} = f(-di/dt)$ ,  $t_{vj} = t_{vj(max)}$ ,  $V_R = 0.5 V_{RRM}$ ,  $V_{RM} = 0.8 V_{RRM}$   
Peak reverse recovery current  $I_{RM} = f(-di/dt)$ ,  $t_{vj} = t_{vj(max)}$ ,  $V_R = 0.5 V_{RRM}$ ,  $V_{RM} = 0.8 V_{RRM}$   
Parameter: Durchlaßstrom/On-state current  $I_{TM}$



BildFig. 18  
Zündverzug/Gate controlled delay time  $t_{gd} = f(i_G)$ ,  $t_{vj} = 25^\circ C$ ,  $di_G/dt = i_G/1 \mu s$   
a – Maximaler Verlauf/Limiting Characteristic  
b – Typischer Verlauf/Typical Characteristic



BildFig. 17  
Transienter Wärmewiderstand  $Z_{thJC} = f(t)$ , DC  
Transient thermal impedance  $Z_{thJC} = f(t)$ , DC  
1 Beidseitige Kühlung/two-sided cooling  
2 Anodenseitige Kühlung/anode side cooling  
3 Kathodenseitige Kühlung/cathode side cooling



BildFig. 19  
Steuercharakteristik mit Zündbereichen/Gate Characteristic with triggering areas  
 $V_G = f(i_G)$ ,  $V_O = 12 V$

Parameter:	a	b	c
Steuerimpulsdauer/Trigger pulse duration $t_g$ [ms]	10	1	0,5
Höchstzulässige Spitzensteuerverlustleistung/ Max. rated peak gate power dissipation $P_{GM}$ [W]	20	40	60

Analytische Elemente des transienten Wärmewiderstandes  $Z_{thJC}$  für DC  
Analytical elements of transient thermal impedance  $Z_{thJC}$  for DC

Kühlung cooling	Pos. n	1	2	3	4	5	6	7
beidseitig two-sided	$R_{thn}$ [ $^\circ C/W$ ]	0,003551	0,000737	0,008319	0,007688	0,009637	0,008068	
	$\tau_n$ [s]	0,000999	0,011363	0,023882	0,104824	0,398978	2,395707	
anodenseitig anode-sided	$R_{thn}$ [ $^\circ C/W$ ]	0,00398	0,008684	0,016596	0,014534	0,01317	0,012078	
	$\tau_n$ [s]	0,001153	0,024309	0,165421	1,101806	5,220734	37,643801	
kathodenseitig cathode-sided	$R_{thn}$ [ $^\circ C/W$ ]	0,003866	0,008225	0,011664	0,015032	0,018689	0,028523	
	$\tau_n$ [s]	0,00113	0,022306	0,140609	0,515255	3,017335	25,452741	

Analytische Funktion/analytical function:

$$Z_{thJC} = \sum_{n=1}^{n_{max}} R_{thn} (1 - \exp(-t/\tau_n))$$